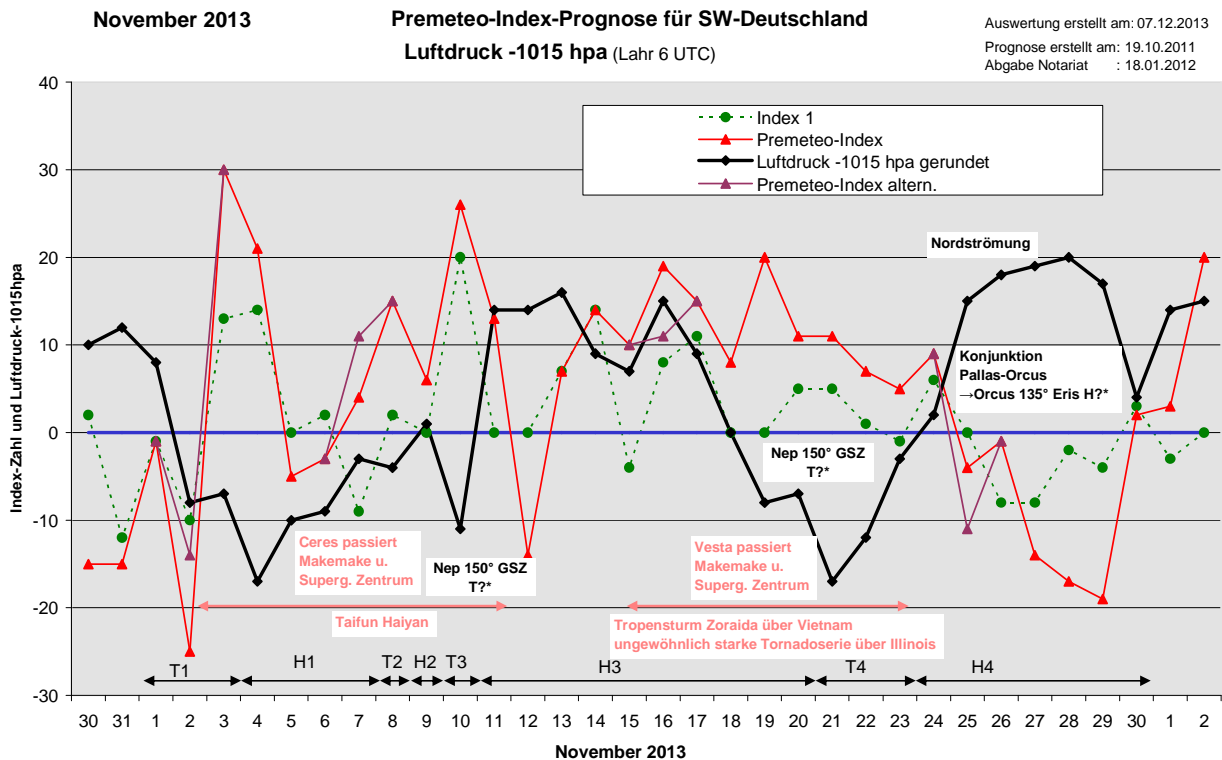


Wetterlagenverlauf November 2013 im Vergleich zur Premeteo-Indexprognose für Südwest-Deutschland

(Im Diagramm sind über der Datumsachse die real eingetreten Hoch- und Tiefdruckphasen durch Doppelpfeile eingetragen. Ausschlaggebend für die Evaluation ist der tägliche Premeteo-Index, in der dünneren, roten Linie mit Dreieckspunkten dargestellt. Ein negativer Premeteo-Index zeigt die Wahrscheinlichkeit für eine zyklonale Tiefdruckströmung, ein positiver Premeteo-Index die Wahrscheinlichkeit für eine antizyklonale Hochdruckströmung an.

Die Wetterlagenbeschreibungen wurden anhand der Berliner Wetterkarten erstellt. Ausschlaggebend ist die Europa-Bodenkarte um 0 UTC, die feiner skalierte 12 UTC-Karte von Mitteleuropa wird nur bei einem Wetterlagenwechsel für die Einordnung des Tages hinzugezogen.)



Tiefdruckphase 1: Die ersten beiden Tage des Novembers begannen entsprechend dem Premeteo-Index mit einer Tiefdruckwetterlage, die von Tief Erol, das vom Ostatlantik in den Ärmelkanal zog, gebildet wurde. Die Tiefdruckwetterlage setzte sich auch am 3. November durch Tief Friedrich fort, als der Premeteo-Index von -25 auf +30 Punkte nach oben angestiegen war. Der hohe positive Index kam sowohl aus Index 1 mit Pallas- und Sonne-H-Aspekten, aber auch aus Index 2. Es waren zwei Chiron-Symmetrien, die mit +14 Punkten zu dem hohen Index beigetragen hatten. Chiron-Symmetrien werden bei neu zu erstellenden Prognosen inzwischen nicht mehr verwendet. Bemerkenswert war der Aspekt Var 150 GaZ T?*, der durch die Konjunktion von Venus mit dem Galaktischen Zentrum am 2. und 3. ausgelöst wurde. Ven 150 Var Tf gehört selbst zu den lokal besonders starken Tiefdruckaspekten. Der Premeteo-Index summierte auf +4.

Hochdruckphase 1: Auf sehr niedrigem Druckniveau etablierte sich über das Azorenhoch eine sehr flache Zwischenhochströmung am 4. und 5. November. Trotz des nachfolgenden Durchzugs von Störungen und Niederschlägen durch Tief Godehard und Tief Imko, blieb die Strömung auf niedrigem Druckniveau überwiegend flach antizyklonal bis zum 7. November. Am 5. und 6. war der Premeteo-Index flach negativ gewesen. Der Premeteo-Index summierte auf +13.

Tiefdruckphase 2: Am 8. dehnte sich Tief Horst über dem Nordmeer bis nach dem südwestdeutschen Raum aus. Der Premeteo-Index lag bei +15, so dass dieser Tag eine eindeutige Fehlprognose war. Beachtenswert ist, dass die ganze labile Wetterlage seit dem

4. November mit der Passage von Ceres über das eng gewordene Konjunktionsfeld von Makemake mit dem Supergalaktischen Zentrum zusammenfiel. Vom 7. bis zum 11. war Ceres in Konjunktion mit dem Supergalaktischen Zentrum und damit wurde auch der unbekannte Aspekt $Nep\ 150\ GSZ\ ?^*$ ausgelöst. Das Verhalten der Atmosphäre würde auf einen zyklonalen Impuls hinweisen. Ebenfalls unbestimmbar war auch die Oppositionssymmetrie $Nep\ 3op\ Pal\ Orc\ (04)\ A^{**}\ ?$ gewesen. Am 8. November, als die Konjunktion von Ceres mit dem Supergalaktischen Zentrum exakt war, erreichte der gigantische Tropensturm Haiyan die Philippinen.

Hochdruckphase 2: Am 9. bei einem Index von +6 setzte sich einen Tag verspätet das Azorenhoch flach durch.

Tiefdruckphase 3: Am 10. brachte Tief Luis über dem Ärmelkanal starke Niederschläge. Der Premeteo-Index betrug +26, aber noch immer war Ceres in Konjunktion mit dem Supergalaktischen Zentrum und löste Neptun $150\ GSZ$ aus. Noch am gleichen Tag stieg mit der Zufuhr von kalter Luft der Druck stark an. Im Kosmogramm kann man sehen, wie sich ein verdichtetes Positionsfeld um das Supergalaktische Zentrum ausgebildet hatte.

Hochdruckphase 3: Hoch Quintia bewegte sich am 11. vom Atlantik über Frankreich nach Deutschland. Bewölkung und Hochnebel bestimmten dennoch überwiegend das Wetter. Der 12. November hatte als einzelner Tag einen Indexwert von -14. Er stammte aus der Symmetrie $Ves\ 22\ Orc\ Hau\ (19)\ T^*\ -14$ des Vortags, der bis Mitternacht auf 500 hpa die antizyklonale Strömung in eine Westströmung übergehen ließ. Eine Okklusionslinie bildete sich nördlich der Region aus, die von Tief Marcus über dem Nordmeer stammte. Doch blieb in der Bodenschicht die Strömung über Südwestdeutschland sowohl am 12. als auch am 13. überwiegend antizyklonal. Hoch Raily übernahm die Regie und wanderte vom Ostatlantik über Mittel- und Osteuropa in den Balkan. Hoch Susanne folgte am 15. vom Atlantik nach und bestimmte das Wetter bis zum 18., allerdings gab es nur wenig Sonne, sondern überwiegend hochnebelartige Bewölkung. Das Kosmogramm zeigte, dass nun Vesta die sich aufbauende Konjunktion zwischen Makemake und dem Supergalaktischen Zentrum passierte. Ähnlich wie bei Ceres vor rund 10 Tagen, labilisierte sich auch dieses Mal die Atmosphäre deutlich, trotz des hohen, positiven Premeteo-Index. Am 18., als die Konjunktion von Vesta mit Makemake stattfand, erreichte der starke Tropensturm Zoraida Vietnam und verursachte katastrophale Überschwemmungen. In der südwestdeutschen Region setzte sich trotz starker Niederschläge in der Nacht vom 19. zum 20. durch Tief Ruven über dem westlichen Mittelmeer, die zyklonale Strömung noch nicht völlig durch, sondern verblieb ganz flach antizyklonal zwischen dem Hoch Susanne I über dem O-Atlantik und dem Hoch Susanne II über SW-Russland. Tief Ruven brachte vor allem im Mittelmeer zum Teil katastrophale Niederschläge. Der Premeteo-Index summierte über die ganze Phase auf +103.

Tiefdruckphase 3: Erst am 21., mit der exakten Konjunktion von Vesta mit dem Supergalaktischen Zentrum, setzte sich sowohl in der Bodenströmung, als auch auf 500 hpa die zyklonale Strömung von Tief Quentin über dem Ärmelkanal durch. Das Tief wanderte nach Süden in den Mittelmeerraum und bestimmte das Wetter auch weiterhin bis zum 23. in unserer Region. Seit dem 19. löste Vesta, ähnlich wie schon Ceres zehn Tage zuvor, den noch unbekanntem Aspekt $Neptun\ 150^\circ\ GSZ\ T^{*}(0/1)$ aus, und nun scheint es doch recht sicher zu sein, dass dieser Aspekt mit einem zyklonalen Impuls verbunden ist. Der Premeteo-Index summierte auf +23.

Hochdruckphase 4: Hoch Traude westlich Irlands dehnte am 24. ihren Isobarenbereich bis über Deutschland aus. Auf 500 hpa bildete sich eine Nordströmung aus, die maritim-arktische Luft in unsere Region führte und die Atmosphäre stabilisierte. Am 25. und 26. war der Premeteo-Index flach negativ und auf 500 hpa kam es von Norden her zu einem Trogvorstoß, der sich östlich unserer Region am 26. bis nach Italien vertiefte. In der bodennahen Atmosphäre verstärkte sich dagegen massiv vom Irland her das Hochdruckgebiet Traude. Der negative Index kam aus Index 3, da die Konjunktion von Pallas mit Orcus den T^* -Aspekt $Orcus\ 45^\circ\ Haumea\ T^*\ -11$ auslöste, aber auch den noch völlig unbekanntem und höher rangigen Aspekt $Orcus\ 135^\circ\ Eris$. Wenn dieser einen H-Impuls trägt, dann hätten die nun folgenden Tage anders bewertet werden müssen.

Auch am 27., bei Premeteo-Index von -14 und bei Temperaturen unter dem Gefrierpunkt dehnte sich Hoch Traude über ganz Deutschland aus. Nur auf 500 hpa war das Höhentief über dem Mittelmeerraum nach Westen gerückt und unsere Region lag im Bereich seiner zyklonal geformten Isohypsen. Noch immer war im Index 3 Orcus 135° Eris ausgelöst. Das atlantische Hoch bestimmte weiterhin die Wetterlage und setzte sich nun auch auf 500 hpa durch. Es hielt so lange an, wie auch die Pallas-Orcus-Konjunktion im 1°-Exaktheitsbereich war. Am 29. stieß der Trog von Tief Uwe weit nach Deutschland vor, dies zeigte genau das Ende der Konjunktion an. Doch verblieb Südwestdeutschland flach im antizyklonalen Isobarenbereich. Am 30. stieg der Luftdruck bereits wieder kräftig an.

Zusammenfassung

Der November 2013 war ein schlechter Prognosemonat gewesen. Mit 14 Fehlprognosetagen bezüglich des Indexvorzeichens und 12 Fehlprognosetagen bezüglich der Wettersymbole wird er wohl der schlechteste Prognosemonat des Jahres 2013 werden.

Positiv an diesem Monat war, dass die Fehlprognosetage so systematisch gerade dann auftraten, als zuerst Ceres vom 7. bis zum 11. und dann Vesta vom 19. bis zum 23. mit dem Supergalaktischen Zentrum in Konjunktion kamen und dadurch der unbekannte Aspekt Neptun 150° Supergalaktisches Zentrum (GSZ) ausgelöst wurde. Er hat sich damit nun recht sicher als zyklonaler Impuls erwiesen.

Zwischen diesen beiden Konjunktionsphasen von Ceres und Vesta lag die einzige Hochdruckphase des Monats, die mit dem Premeteo-Index weitgehend übereinstimmte.

Gerade als Vesta ihre Konjunktion mit dem GSZ beendete, kam Pallas mit Orcus in Konjunktion. Es wurden zwei hochrangige Orcus-Aspekte ausgelöst: Orcus 45° Haumea, mit bekanntem zyklonalen Impuls, und Orcus 135° Eris mit unbekanntem Impuls, der aber von beiden Winkelbeziehungen den höheren Rang hat, da die Umlaufbahn von Eris einen größeren Raum umschließt als die von Haumea. Recht eindeutig hat nun Orcus 135° Eris seinen antizyklonalen Impuls gezeigt.

Gerade wegen der Systematik der Fehlprognosetage im Zusammenhang mit den Konjunktionen und ihren Auslösungen, kann das Versagen der Premeteo-Prognose für den Monat November aber auch als ein fruchtbares Scheitern gewertet werden, das letztendlich die Premeteo-Hypothese insgesamt stützt!

SW-D befand sich an 22 Tagen im Einflussbereich antizyklonaler Strömung. Die Summe des prognostizierten Premeteo-Index für diese Tage ergibt +78, was einer Indexzahl von +3,55 pro Tag entspricht.

An 8 Tagen befand sich SW-D im Einflussbereich zyklonaler Strömung. Die Summe des prognostizierten Premeteo-Index für diese Tage ergibt +68, was einer Indexzahl pro Tag von +8,5 entspricht.

Die Prognose durch die Premeteo-Wettersymbole war an 12 Tagen falsch (am 3., 4., 8., 10., 11., 14., 15., 16., 17., 19., 20., 21.)), an 9 Tagen richtig und an 9 Tagen tendenziell richtig.

November 2013  **Prognose für SW-Deutschland**

01.11.2013												
Langsamläufer-Impulse		2H*		H+					H*	H*		
Schnellläufer-Impulse	2T, 2H	Tf, 2T, H	H	H	H			2T	H	Hf		
Temperaturimpulse		K	W				K, K?	2W	2W, W*			
Premeteo-Index -zyklonal, + antizyklonal (Index 1+2+3)	-1	-25	30	21	-5	-3		4	15	6		
Pre.IX (ALTERNATIV)		-14						11				
Index 1 (12 - 12 UTC) exakte Aspekte des Tages	-1	-10	13	14	0	2		-9	2	0		
Index 1 (ALTERNATIV)												
Symmetrien (0 - 0 UTC)	Ura 150 Son Mar (06) A A H W --- Pal 36 Jup GSZ (14) H 0/4-14 Mer 60 Mar Plu (16) A T AW -7 Plu 60 Chi Mer (20) A?(3/3) T A -7 Plu 60 Son Chi (21) T A?(3/3) A -7	Qua 45 Jun Mer (01) A* H T 0 Mer 45 Ves Qua (05) T H A 0 Son 60 Mar Plu (05) H W T AW -7? Ves 15op Ura Chi (14) H* (8/3) +7	Mer 164 Sed Eri (00) ? 0 Son 3 Sat Mer (03) A K H +7 Chi 30 Ura Jun (13) H* (8/3) A* A* +7	Jun 30 Plu Chi (12) A* A* A? (3/3) 0 Orc 3op Mar Orc (13) ? T? (2/4) ?	GaZ 3 Ven Qua (03) A ? -7/0 Chi 3op Mar Orc (19) T T? (2/4) -7	Cer 1 Mak GSZ (16) H* A* -7 Orc 7 Mar Pal (23) H H* +7?	Ven 8 Plu Qua (07) Hst K A +7?	Nep 3op Pal Orc (04) A* ? ? Ven 60 Nep Mer (08) H W A W A W +7 Ven 6 Plu GaZ (18) Hst K A ---			Mak 3 Ves Cer (15) A* H* +7	
Index 2 (12-12 UTC)	0	-14	14	7	-7	-7		7	7	0		
Index 2 ALTERNATIV												
ausgelöste LL-Aspekte		Son 60 Plu T-3 Pal 120 GaZ H5 Chi 72 GaZ H*(7/2)+8 Var 150 GaZ T?*(1/4) -11	Mer 45 Qua H1 Pal 120 GaZ H5 Chi 72 GaZ H*(7/2)+8 Var 150 GaZ T?*(1/4) -11		Ven 90 Mak H2	Ven 90 Mak H2		Jup 72 GSZ H6 Sat 144 Ura H 0 / +7 Nep 150 GSZ ? 0 #	Jup 72 GSZ H6 Nep 150 GSZ ? 0 #	Jup 72 GSZ H6 Nep 150 GSZ ? 0 #	Jup 72 GSZ H6 Nep 150 GSZ ? 0 #	
Index 3 (Summe)	0	-1	3	0	2	2		6	6	6		
Index 3 ALTERNATIV												
Symbol-Prognose	3	5	2	2	3	3		3	2	3		
Symbol-Prognose altern.	3	5	2	2	3	3		2	2	3		
Wochentag	Fr	Sa	So	Mo	Di	Mi		Do	Fr	Sa		
Datum	1	2	3	4	5	6		7	8	9		
reale Wetterlage	T1: Tf, 4T - 2H*, 4H / +4			H1: H*, 2H - 2T / +13				T2: H / +15			H2: H*, Hf / +6	T3: H* / +26
Luftdruck (hpa) 06 UTC	1022,7	1007	1008	998,5	1004,8	1006,2		1012,5	1011,2	1016,4	1004,1	
mittl. Temp.(°C)	7,2	14,7	10,3	11,5	7,6	12		15,7	14,3	10,1	6,9	
Sonnenscheindauer (h)	0,4	0,4	1,3	.	3,6	.		2,6	.	3,5	.	
Niederschlag (Liter)	2 / 2	/ 4	2 / 9	1 / 3,5	1 / 4	/ 10		0,0	19 / 8	3	16 / 30,5	
Bodenwetterlage 00 UTC (Kernlage des Druckgebiets, das SW-D beeinflusst)	T ü O-Atl, H ü O-Alpen	T ü Ärmel	T ü N-Nsee	fl Keil ü D	Azor-H, T ü Osee, T ü N-Italien	Ausl von T ü O-Atl		H-Keil von Iber	T ü N-D	Azor-H Tü Nsee	T ü Ärmel	
Bodenströmung 12 UTC zyklonal (z), antizyklonal (a)	a-z	z	a	a-z	a	fl a		fl a	z	a	z	
Strömung auf 500 hpa 00 UTC	SW fl z	SW z	SW a-z	W z	W z	NW a-z		W a	SW a	SW a-z	W z	
zutreffende Wettersymbole	5 hr	5 r	5 f	5 f	3 r	5 hr		5 hr	5 f	3 r	5 f	

Übertrag	07:14	01:42	07:09	04:56	01:55	10:36	11:58	01:17	09:46	00:49
Index 1: -1	SON 45 QUA	VEN 150 VAR	JUN 45 QUA	SON 45 GaZ	PLU 30 JUN	CER 144 KN2	SON 144 URA	VEN 60 NEP	SON 120 APO	URA 30 CHI
Index 2: +7	SKO 09*01'37"	SCH 26*45'37"	WAS 09*04'02"	SKO 11*56'08"	STE 09*30'39"	WAA 01*12'27"	SKO 15*14'21"	STE 02*35'18"	SKO 17*09'20"	WID 09*09'52"
	SCH 24*01'37"	KRE 26*45'37"	SCH 24*04'02"	SCH 26*56'08"	WAS 09*30'39"	STI 07*12'27"	WID 09*14'22"	FIS 02*35'19"	KRE 17*09'21"	FIS 09*09'52"
	A	TIK -8	A*	Hf +9	A*	A*	T-3	H W +2	A W	H* (8/3) +8
	10:26	02:01	08:50	07:14	06:39	12:02	14:53	01:40	11:59	05:20
	URA 90 PLU	MER 120 CHI	SON 60 MAR	CER 0 FY9	VEN 144 SED	SON 0 SAT	SON 45 FY9	VEN 60 VAR	MAR 60 SAT	SON 72 ORC
	WID 09*25'57"	SKO 09*16'02"	SKO 11*05'47"	WAA 00*18'04"	SCH 29*54'57"	SKO 14*14'18"	SKO 15*21'40"	JUN 26*44'28"	JUN 14*35'54"	SKO 17*58'29"
	STE 09*25'57"	FIS 09*16'03"	JUN 11*05'47"	WAA 00*18'04"	STI 23*54'57"	SKO 14*14'18"	WAA 00*21'40"	KRE 26*44'27"	SKO 14*35'53"	JUN 05*58'30"
	A?(2,5/2)	A	H W +3	H* +5	A	A K	T-6	A*	A	A
	12:04	04:18	14:22	07:33	16:48	17:51	15:15	03:34	12:03	
	MER 60 MAR	MER 45 VES	MER 0 KN1	VEN 45 SAT	VEN 90 FY9	VEN 90 CER	JUN 72 ERI	VEN 72 EL6	SON 45 GSZ	
	SKO 10*01'16"	SKO 09*08'39"	SKO 07*21'31"	SCH 28*58'33"	STE 00*19'36"	STE 01*20'06"	WAS 10*10'23"	STE 02*40'44"	SKO 17*15'04"	
	JUN 10*01'14"	JUN 24*08'39"	SKO 07*21'29"	SKO 13*58'32"	WAA 00*19'36"	WAA 01*20'06"	WID 22*10'23"	WAA 20*40'43"	WAA 02*15'05"	
	A	T-1	A	A	H+2	A K?	A*	A	A	
	13:13	05:56	23:44	09:15			16:47	12:20	12:30	
	SON 120 CHI	VEN 0 GaZ	CHI 30 JUN	URA 60 JUN	VEN 90 GSZ	VEN 90 GSZ	VEN 90 GaZ	JUN 72 CER	JUP 72 CER	
	SKO 09*16'35"	SCH 26*56'08"	FIS 09*14'14"	WID 09*20'10"	STE 02*15'03"	STE 02*15'03"	JUN 26*56'08"	KRE 20*30'08"	WAA 02*30'08"	
	FIS 09*16'35"	SCH 26*56'08"	WAS 09*14'15"	WAS 09*20'10"	A	A	WAA 02*15'04"	A* W*	A* W*	
	A	A	A*	A*			A	A	A	
	16:45	06:08		12:18			12:25	17:12		
	SON 150 URA	MER 45 QUA		MAR 45 VAR			MER 60 VEN	NEP 150 CER		
	SKO 09*25'25"	SKO 09*02'45"		JUN 11*45'14"			SKO 03*01'43"	FIS 02*35'03"		
	WID 09*25'26"	SCH 24*02'46"		KRE 26*45'15"			STE 03*01'44"	WAA 02*35'03"		
	A	H---		A			A W	H* +5		
	17:08	09:46		20:23			22:07	18:35		
	SON 60 PLU	MER 90 JUN		MER 60 ORC			CER 0 GSZ	MER 30 CER		
	SKO 09*26'18"	SKO 08*51'04"		SKO 05*55'11"			WAA 02*15'04"	SKO 02*36'30"		
	STE 09*26'18"	WAS 08*51'04"		JUN 05*55'12"			WAA 02*15'04"	WAA 02*36'30"		
	T-3	T-2		A			A*	Hf +7		
	17:17	11:37						21:33		
	VEN 120 PAL	MER 72 PAL						MER 120 NEP		
	SCH 26*24'39"	SKO 08*45'08"						SKO 02*35'01"		
	LÖW 26*24'39"	LÖW 26*45'10"						FIS 02*35'01"		
	A	A						A W		
	17:51	11:58						22:00		
	VEN 120 SED	PAL 30 VAR						SON 45 CER		
	JUN 23*57'04"	LÖW 26*45'33"						SKO 17*40'04"		
	STI 23*57'03"	KRE 26*45'34"						WAA 02*40'04"		
	A*	H* +5						A		
zu 1.11.2013	22:45	20:20		13:46						
	MER 60 PLU	SON 0 MER	VEN 72 CHI							
	SKO 09*26'36"	SKO 08*34'24"	SCH 27*15'35"							
	STE 09*26'36"	SKO 09*34'26"	FIS 09*15'34"							
	T-1	H---	A							
	23:17	22:39	21:28							
	MER 150 URA	VEN 90 QUA	PAL 120 GaZ							
	SKO 09*24'52"	JUN 24*02'23"	LÖW 26*56'08"							
	WID 09*24'53"	SCH 24*02'24"	SCH 26*56'08"							
	H---	A*	H* +10							

November 2013  **Prognose für SW-Deutschland**

Langsamläufer-Impulse			H ⁺ , H ⁺				H [?]		T ⁺ , H ⁺	H ⁺
Schnellläufer-Impulse				Hf	T, Hf		T, Hf			3H
Temperaturimpulse	W	2W			2K					W [*]
Premeteo-Index -zyklonal, + antizyklonal (Index 1+2+3)	13	-14	7	14	10	19	15	8	20	11
Pre.IX (ALTERNATIV)						11				
Index 1 (12 - 12 UTC) exakte Aspekte des Tages	0	0	7	14	-4	8	11	0	0	5
Index 1(ALTERNATIV)						0				
Symmetrien (0 - 0 UTC)	Ves 22 Orc Hau (19) T ⁻ -14	Mak 2 Ves GSZ (10) A ⁺ ? ?	GSZ 2 Mak Cer (05) ? A ⁺ ? Chi 8op Mar Pal (12) T ⁻ H ⁺ +7?	GSZ 2 Ves Cer (23) H ⁺ A ⁺ +7		Ura 144 Sat Pal (09) H ⁺ A ⁺ T ⁺ +7		Ves 1 Mak GSZ (20) A ⁺ H ⁺ +7	Mer 15op Sed Eri (09) ? ⁺ 0	
Index 2 (12 -12 UTC)	7	-14	0	0	7	7	0	0	7	0
Index 2 ALTERNATIV										
ausgelöste LL-Aspekte	Jup 72 GSZ H6 Nep 150 GSZ 70 #				Sat 45 Mak H7	Son 45 Plu T-3 Sat 45 Mak H7	Son 45 Plu T-3 Sat 45 Mak H7	Mer 30 Cer H1 Sat 45 Mak H7	Jup 72 GSZ H6 Sat 45 Mak H7 Nep 150 GSZ ? ⁺ 0 #	Jup 72 GSZ H6 Nep 150 GSZ ? ⁺ 0 #
Index 3 (Summe)	6	0	0	0	7	4	4	8	13	6
Index 3 ALTERNATIV										
Symbol-Prognose	2	3	3	2	2	2	2	3	2	2
	2	3	3	2	2	2	2	3	2	2
Wochentag	Mo	Di	Mi	Do	Fr	Sa	So	Mo	Di	Mi
Datum	11	12	13	14	15	16	17	18	19	20
reale Wetterlage	H3: 5H ⁺ , 3Hf, 3H - T ⁻ ; 2T / +103									
Luftdruck (hpa) 06 UTC	1029,3	1028,9	1030,7	1024,1	1021,8	1030,3	1024,4	1014,8	1006,8	1007,8
mittl. Temp.(°C)	4,7	0,3	5,2	5,7	5,2	5,5	5,6	3,6	4,3	4,2
Sonnenscheindauer (h)	1,6	-	0,1	0,9	3,6	-	-	7,4	-	-
Niederschlag (Liter)	0,0	0,6	0,0 / 2	0,1	-	-	-	-	17 / 23	6
Bodenwetterlage 00 UTC (Kernlage des Druckgebiets, das SW-D beeinflusst)	Azor-H H ü F	H ü Tschechien, T ü Island	H ü O-Atl, Okkl ü M-D, H ü Karpaten	H ü Tschech, T ü Nm	H ü O-Atl, fl T ü GG, H ü O-Eu	H ü O-Atl, H ü O-Balk	H mit Kernen ü O-Atl u Tschech	H ü O-Atl u O-Eu	H ü O-Atl, H ü SW-R, T ü W-Mm, T ü Nm	H ü O-Atl, T ü S-D
Bodenströmung 12 UTC zyklonal (z), antizyklonal (a)	a	a	a	a-z	fl z	fl a	a-z	a	a-z	a
Strömung auf 500 hpa 00 UTC	N a-z	N a	W fl z	W fl a	SO z	W a	W a	N a	SW a-z	N a-z
zutreffende Wettersymbole	5 f	2-5 r	5 hr	5 f HN	5 f HN	5 f HN	5 f HN	2-5 r	5 f	5 f

PAL 30 FY9 JUN 00°25'12" WAA 00°25'12" A ⁺	00:36	MAR 144 ERI JUN 16°07'55" WID 22°07'55" A	05:10	SON 30 EL6 SKO 20°47'07" WAA 20°47'07" A	00:25	SON 150 ERI SKO 22°06'50" WID 22°06'48" Hf +9	08:06	VEN 90 URA STE 09°01'41" WID 09°01'40" AK	01:14	SON 180 SED SKO 23°48'24" STI 23°48'23" A	00:27	SON 45 PLU SKO 24°48'13" STE 09°48'13" T-3	00:12	CER 30 ORC WAA 06°02'13" JUN 06°02'13" A ⁺	01:55	SON 30 GaZ SKO 26°56'07" SCH 26°56'07" A	02:57	SON 144 ERI SKO 28°03'51" WID 22°03'52" H+3	05:48
VEN 120 ORC STE 05°59'18" JUN 05°59'18" A	16:27	VEN 60 KN1 STE 06°52'43" SKO 06°52'42" A W	15:48	NEP 135 APO FIS 02°34'46" KRE 17°34'46" A ⁺	05:01	VEN 135 SED STE 08°49'07" STI 23°49'08" A	19:34	VEN 72 APO JUN 29°47'16" KRE 17°47'16" A ⁺	01:54	SON 135 URA SKO 23°59'54" WID 08°59'55" A ⁺	05:01	VEN 144 KN2 WAA 00°38'41" STI 06°38'41" A ⁺	01:44	MER 0 KN1 SKO 06°35'19" SKO 06°35'20" A ⁺	03:01	CER 30 KN1 WAA 06°31'39" SKO 06°31'38" A ⁺	06:53	MER 150 URA SKO 08°54'13" WID 08°54'13" H+1	05:51
MER 120 NEP SKO 02°34'50" FIS 02°34'50" A W	20:49	SON 120 JUP SKO 20°27'40" KRE 20°27'39" A W	16:41	SAT 144 URA SKO 15°04'12" WID 09°04'12" Hf ⁺ +7	10:31	VEN 60 CHI STE 09°07'48" FIS 09°07'47" A	04:00	NEP 180 PAL FIS 02°34'53" JUN 02°34'53" A ⁺	10:26	MAR 144 JUN JUN 18°53'32" WAS 12°53'32" A	03:42	SON 120 VAR SKO 26°40'17" KRE 26°40'17" A	20:40	MAR 60 JUP JUN 20°15'18" KRE 20°15'18" A	14:50	MER 120 CHI SKO 09°07'15" FIS 09°07'15" A	10:17	MER 45 QUA SKO 09°27'30" SCH 24°27'28" H+2	17:05
WAS 11°56'07" SCH 26°56'07" H ⁺ +5	22:52	JUN 45 GaZ WAS 11°56'07" SCH 26°56'07" H ⁺ +5	22:52	MAR 60 APO JUN 17°48'02" KRE 17°48'02" T-4	04:38	SON 30 QUA SKO 24°21'33" SCH 24°21'33" A	13:37	MER 30 CER SKO 05°39'53" WAA 05°39'52" Hf +7	04:00	FY9 144 KN2 SKO 05°39'53" WAA 05°39'52" A ⁺	04:00	SAT 72 PAL SKO 15°48'48" JUN 03°48'47" T ⁻ -5	23:13	MER 45 QUA SKO 09°27'30" SCH 24°27'28" H+2	16:22	MER 72 VES KRE 20°15'09" WAA 02°12'26" H ⁺ +6	17:38	JUP 72 GSZ SKO 15°48'48" KRE 20°15'09" WAA 02°15'09" H ⁺ +6	16:24
PAL 30 GSZ JUN 02°15'06" WAA 02°15'07" A ⁺	14:06	SAT 45 VES SKO 15°31'05" WAA 00°26'57" A ⁺	14:48	SAT 45 FY9 SKO 15°31'05" WAA 00°26'57" A ⁺	04:41	URA 144 PAL WID 08°58'06" JUN 02°58'06" A ⁺	10:34	JUP 72 VES KRE 20°15'09" WAA 02°12'26" A ⁺	16:24	JUP 72 VES KRE 20°15'09" WAA 02°12'26" A ⁺	16:24	JUP 72 VES KRE 20°15'09" WAA 02°12'26" A ⁺	20:11	VEN 0 PLU STE 09°46'27" STE 09°46'27" Hf K +8 /0	18:17	URA 144 PAL WID 08°58'06" JUN 02°58'06" A ⁺	10:34	VEN 0 GSZ WAA 02°15'09" WAA 02°15'09" H ⁺ +5	20:11
VEN 0 PLU STE 09°46'27" STE 09°46'27" Hf K +8 /0	18:17	URA 144 PAL WID 08°58'06" JUN 02°58'06" A ⁺	10:34	MER 60 ORC SKO 06°02'00" JUN 06°02'01" A	13:27	PAL 45 APO JUN 03°05'06" KRE 18°05'06" A ⁺	17:54	MAR 30 EL6 JUN 20°56'54" WAA 20°56'53" A	21:05	MAR 30 EL6 JUN 20°56'54" WAA 20°56'53" A	21:05	MAR 30 EL6 JUN 20°56'54" WAA 20°56'53" A	22:26	APO 72 KN2 KRE 18°26'25" STI 06°26'24" A ⁺ W [*]	22:26	APO 72 KN2 KRE 18°26'25" STI 06°26'24" A ⁺ W [*]	22:26		

November 2013  **Prognose für SW-Deutschland**

Langsamläufer-Impulse	H*		H*	2H*		H*	T*	H*	H*	T*
Schnellläufer-Impulse	3T	H, T	T	H, 2T	4T	3T, H	3T	2H, T	T, H	T
Temperaturimpulse				W*		K?, K		K	W	K
Premeteo-Index - zyklonal, + antizyklonal (Index 1+2+3)	11	7	5	9	-4	-1	-14	-17	-19	2
Pre.IX (ALTERNATIV)										-11
Index 1 (12 - 12 UTC) exakte Aspekte des Tages	5	1	-1	6	0	-8	-8	-2	-4	3
Index 1(ALTERNATIV)										
Symmetrien (0 - 0 UTC)	Plu 59 Chi Mer (18) A?*(3) T A ...			Mak 8 Mar Cer (04) A H* +7? Pal 46 Jup Hau (10) H* A* H* ... Nep 144 Var Cer (11) H* H* W* A* A* +14 GSZ 2 Ves Mak (17) H* ? +7/0	Pal 3op Nep Chi (11) A* H* ...	Mar 15op Ura Chi (11) H* (8/3) +7?		Hau 45 Son Orc (04) A T* A-7 Ves 5 Mak Cer (08) A* H?*(4/1/2) +7?	Eri 135 Son Pal (01) T A* A-7 Orc 134 Ven Eri (02) A ?* A ? Cer 74 Var Qua (14) Tat* ... Eri 134 Son Orc (23) T ?* A-7	Son 91 Chi Pal (09) A W A H* ...
Index 2 (12 -12 UTC)	0	0	0	14	7	0	0	-7	-7	-7
Index 2 ALTERNATIV										
ausgelöste LL-Aspekte	Jup 72 GSZ H6 Nep 150 GSZ ?*0 #	Jup 72 GSZ H6 Nep 150 GSZ ?*0 #	Jup 72 GSZ H6 Nep 150 GSZ ?*0 #	Orc 45 Hau T-11 Orc 135 Eri ?*0 #	Orc 45 Hau T-11 Orc 135 Eri ?*0 #	Jup 72 GSZ H6 Jun 90 Sat H5 Sat 45 Mak H7 Orc 45 Hau T-11 Orc 135 Eri ?*0 #	Mer 72 Orc T-1 Jup 72 GSZ H6 Orc 45 Hau T-11 Orc 135 Eri ?*0 #	Ven 180 Jup H2 Jup 72 GSZ H6 Ves 30 Orc T-5 Orc 45 Hau T-11 Orc 135 Eri ?*0 #	Ven 180 Jup H2 Jup 72 GSZ H6 Ves 30 Orc T-5 Orc 45 Hau T-11 Orc 135 Eri ?*0 #	Jup 72 GSZ H6
Index 3 (Summe)	6	6	6	-11	-11	7	-6	-8	-8	6
Index 3 ALTERNATIV										
Symbol-Prognose	2	3	3	3	3	3	5	5	5	3
Wochentag	Do	Fr	Sa	So	Mo	Di	Mi	Do	Fr	Sa
Datum	21	22	23	24	25	26	27	28	29	30
reale Wetterlage	T4: 5T - 2H*, H / +23			H4: 5H*, 5H - 2T*, 15T / -44						
Luftdruck (hpa) 06 UTC	998,1	1002,6	1012,2	1017,3	1029,9	1033,4	1034,2	1035,1	1032,1	1018,6
mittl. Temp.(°C)	3	3,4	5	5,7	1	-0,1	-4,1	-0,8	2,7	2,4
Sonnenscheindauer (h)	7,6	2,5 HN	1,1 HN	.HN	.	0
Niederschlag (Liter)	4 / 1	4 / 8	0,0 / 0,5	0,4 / 1,5	0,6	.	0,0	0,0	3	0,0
Bodenwetterlage 00 UTC (Kernlage des Druckgebiets, das SW-D beeinflusst)	T ü Ärmel	T ü N-Ital	T ü M-Ital	H w Irland	H ü Irland	H ü Irland	H ü Irland	H ü O-F	H ü SW-D	H ü O-Atl, T ü NO-D
Bodenströmung 12 UTC zyklonal (z), antizyklonal (a)	z	z	z	fl a	fl a	a	W a-z	a	a	fl a
Strömung auf 500 hpa 00 UTC	SW z	z	O z	NO z	N z	N fl z	NO fl z	SW a	N a	W z
zutreffende Wettersymbole	5 f	5 hr	5 hr	5 hr	2-3 r	2-3 r	2-5 hr	5 r	5 r	5 hr

00:19	06:16	04:47	09:20	08:04	01:37	03:22	02:46	01:52	00:18
VEN 30 JUN STE 14°05'57" WAS 14°05'58" T -2	SON 45 VEN SCH 00°06'11" STE 15°06'11" A K	JUP 45 PAL KRE 20°05'14" JUN 05°05'14" H* ---	SON 60 GSZ SCH 02°15'11" WAS 15°31'04" H+3	MER 90 JUN SKO 15°31'04" WAS 15°31'04" T -2	PAL 0 ORC JUN 06°04'37" SKO 18°04'48" JUN 06°04'36" H* ---	MER 72 ORC SKO 18°04'48" JUN 06°04'49" T -1	MER 60 VEN SKO 19°29'40" STE 19°29'40" A W	SON 135 ERI SCH 06°59'55" WID 21°59'54" T -3	YES 30 ORC WAA 06°05'15" JUN 06°05'15" T* -5
02:10	06:55	18:47	11:32	10:01	01:56	11:01	03:35	04:10	08:57
MER 60 PLU SKO 09°54'59" STE 09°54'57" T ---	FY9 72 APO WAA 00°35'27" KRE 18°35'27" A*	VEN 60 SAT STE 16°17'47" SKO 16°17'48" T -2	NEP 144 CER FIS 02°36'45" WAA 08°36'45" H* W* +5	MER 45 FY9 SKO 15°37'53" WAA 00°37'54" T -2	MER 0 SAT SKO 16°33'55" SKO 16°33'54" A K?	MER 72 PAL SKO 18°32'25" JUN 06°32'25" A	SON 30 KN1 SKO 18°32'25" SKO 06°03'29" H K +3	SON 90 PAL SCH 07°05'44" JUN 07°05'44" A	JUN 135 GSZ WAS 17°15'13" WAA 02°15'14" A*
15:43	16:31		11:54	12:35	03:15	15:46	04:11	05:06	11:05
NEP 150 VES FIS 02°35'50" WAA 02°35'51" H* +5	MER 45 GAZ SKO 11°56'07" SCH 26°56'07" A		CER 72 VAR WAA 08°37'07" KRE 26°37'07" A*	VEN 45 NEP STE 17°37'09" FIS 02°37'09" T -2	SON 135 APO SCH 04°01'11" KRE 19°01'10" T -3	MAR 90 QUA JUN 24°37'46" SCH 24°37'46" T -4	SON 90 ORC SCH 06°05'00" JUN 06°04'60" A	MER 30 EL6 SKO 21°06'21" WAA 21°06'21" A	VEN 135 ORC STE 21°05'18" JUN 06°05'18" A
16:50	18:00		17:52	16:26	06:05	16:29	04:16	13:27	12:34
MAR 45 KN1 JUN 21°23'58" SKO 06°23'58" T -4	SON 60 FY9 SCH 00°35'49" WAA 00°35'50" H+3		CER 135 SED WAA 08°43'02" STI 23°43'03" H+3	JUN 135 FY9 WAS 15°38'06" WAA 00°38'06" A*	VEN 72 KN1 STE 18°09'30" SKO 06°09'30" T K -2	VEN 180 APO STE 19°11'32" KRE 19°11'32" A	SON 45 EL6 SCH 06°05'13" WAA 21°05'14" H* +5	SAT 90 JUN SKO 16°58'04" WAS 16°58'04" H* +5	VEN 90 EL6 STE 21°07'44" WAA 21°07'44" A
	21:07		17:54	18:58	07:15	16:46	07:25	17:41	18:26
	MAR 150 ERI JUN 22°02'37" WID 22°02'37" T -4		SON 90 NEP SCH 02°36'51" FIS 02°36'51" T -3	SON 72 JUN SCH 03°40'14" WAS 15°40'14" A	PAL 60 KN1 JUN 06°09'21" SKO 06°09'21" A*	ORC 60 KN1 JUN 06°04'55" SKO 06°04'55" A	MER 120 JUP SKO 19°46'39" WAA 05°58'26" A	VES 30 KN1 WAA 05°58'26" SKO 23°39'18" A*	SON 120 URA SCH 08°42'41" WID 08°42'41" T K -3
			19:50	19:27	13:32	22:12	07:48	19:29	22:13
			MER 144 URA SKO 14°48'35" WID 08°48'35" T -1	CHI 150 CER FIS 09°08'22" WAA 09°08'22" A*	MER 45 GSZ SKO 17°15'11" WAA 02°15'12" H+1	ORC 45 EL6 JUN 06°04'57" WAA 21°04'57" T* -11	PLU 90 CER STE 10°07'40" WAA 10°07'39" H* +5	MER 150 ERI SKO 21°59'36" WID 21°59'36" A	MER 180 SED SKO 23°39'18" STI 23°39'19" A
			20:37	22:35	21:51	22:14	12:03	21:27	23:04
			NEP 144 VAR FIS 02°36'53" KRE 26°36'53" H* +10	MAR 120 SED JUN 23°42'19" STI 23°42'19" T -4	SON 60 VES SCH 04°48'14" WAA 04°48'13" T kurz -3	MER 120 APO SKO 19°13'08" KRE 19°13'09" T -1	VEN 180 JUP STE 19°45'51" KRE 19°45'50" H+2	SON 72 MAR SCH 07°49'31" JUN 25°49'31" HW +3	MER 135 URA SKO 23°42'29" STI 23°42'31" A
			23:18	23:28	23:20		20:58		
			URA 180 CER WID 08°48'25" WAA 08°48'26" A*	PAL 45 EL6 JUN 06°02'48" WAA 21°02'48" A*	SON 135 JUP SCH 04°51'59" KRE 19°51'58" A		PAL 135 ERI JUN 06°59'58" WID 21°59'59" A*		
							21:14		
							MER 45 VES SKO 20°37'20" WAA 05°37'21" T -1		